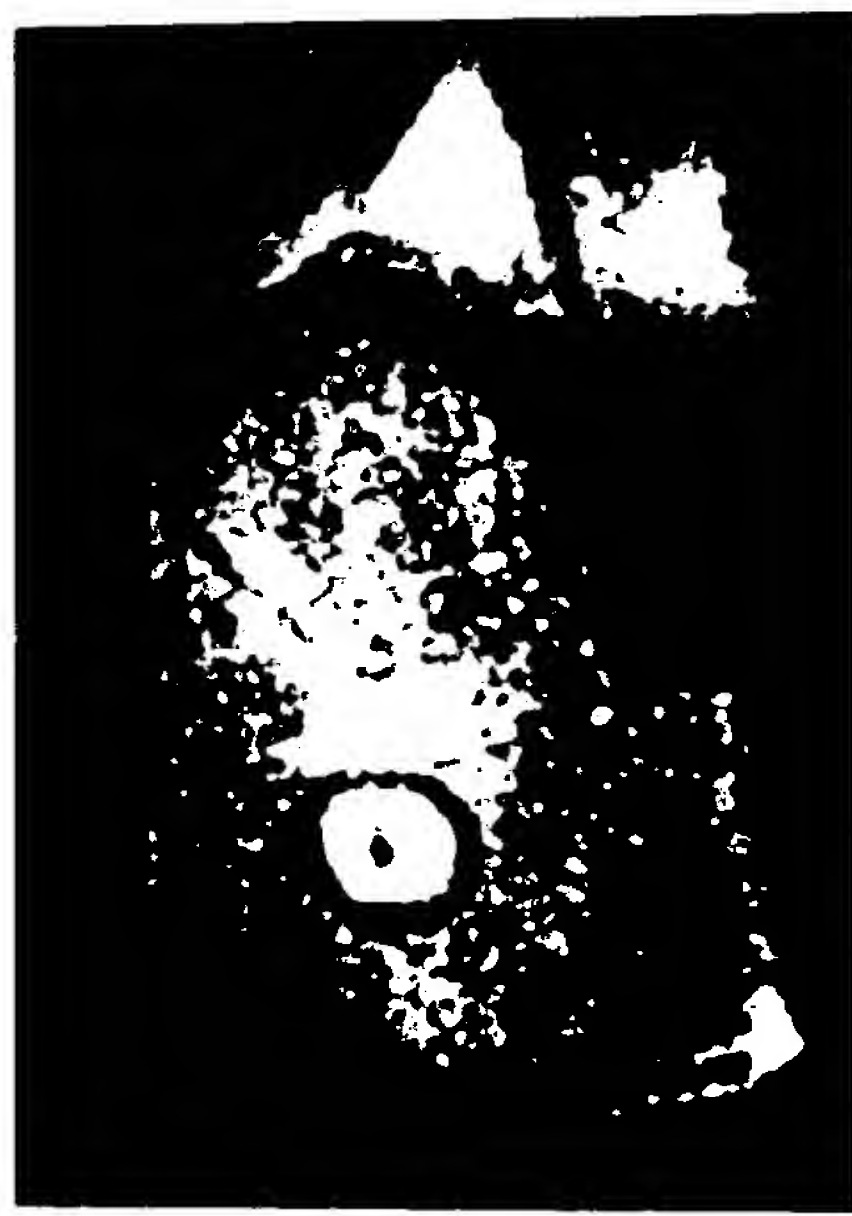


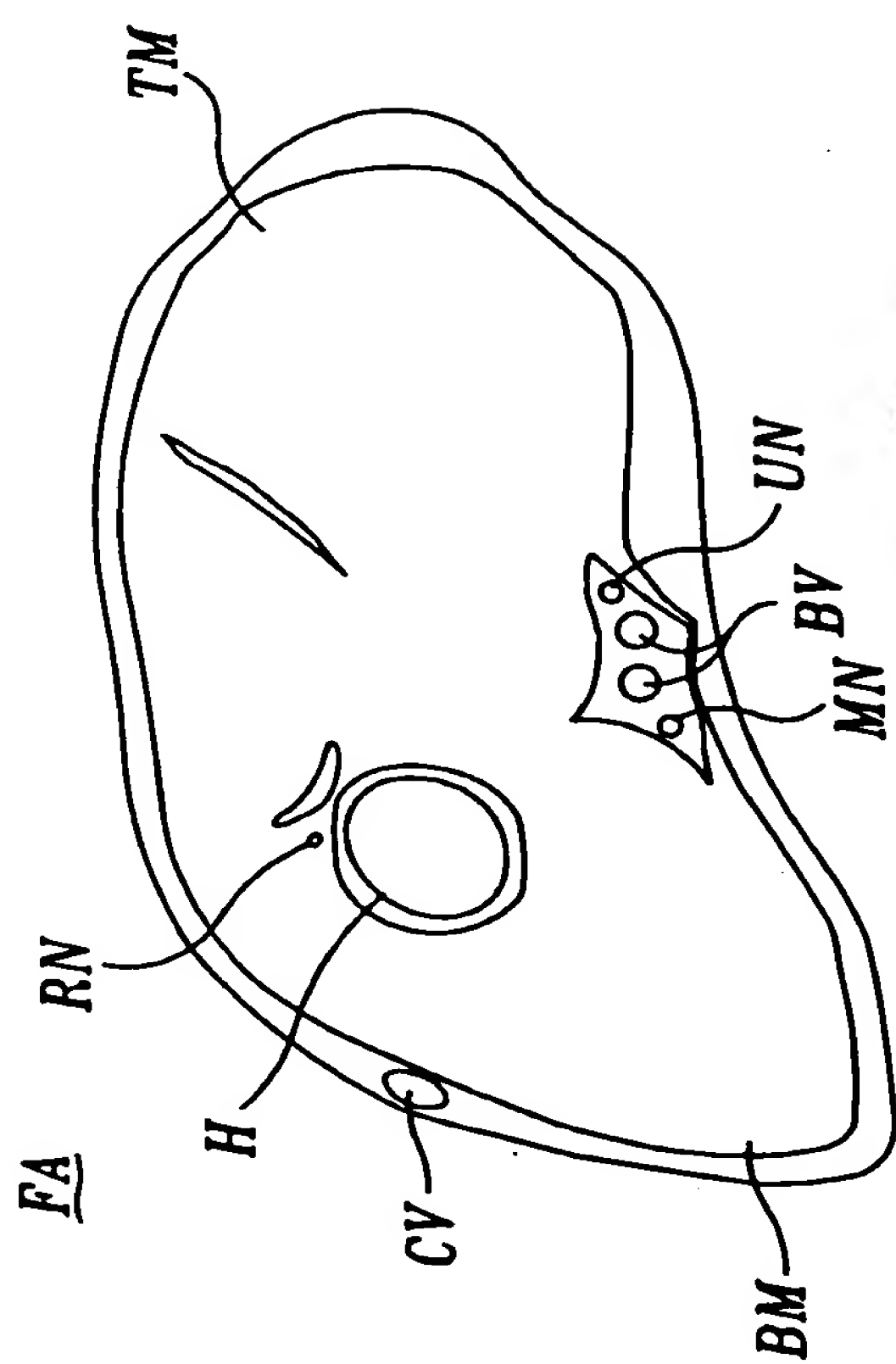
1117



MN UN
dig. 12.



dig. 13. B.

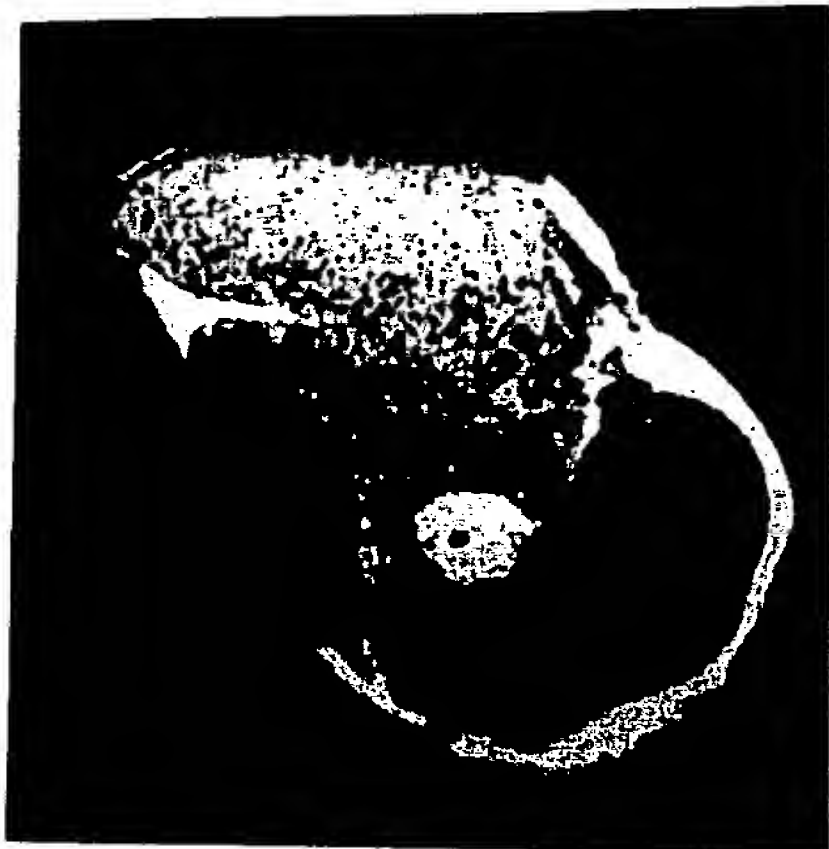


dig. 1.



dig. 13. A.

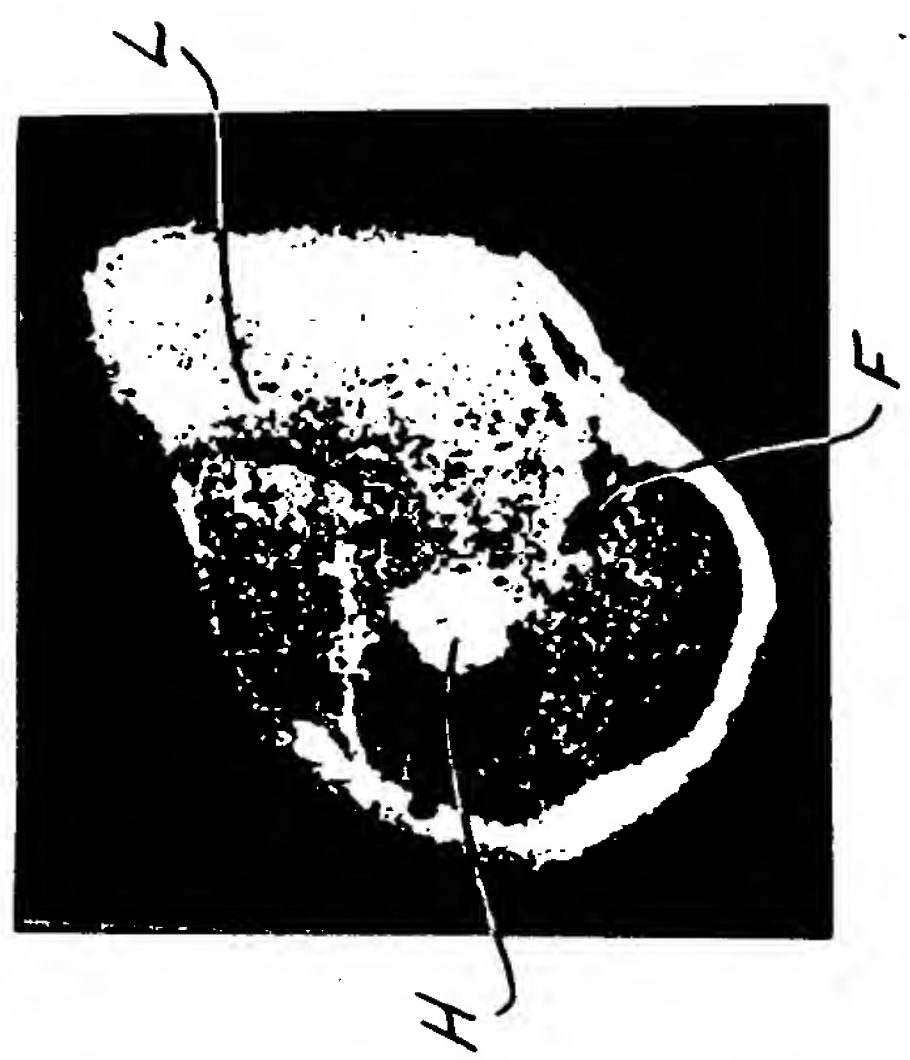
2/17



dig. 2B.



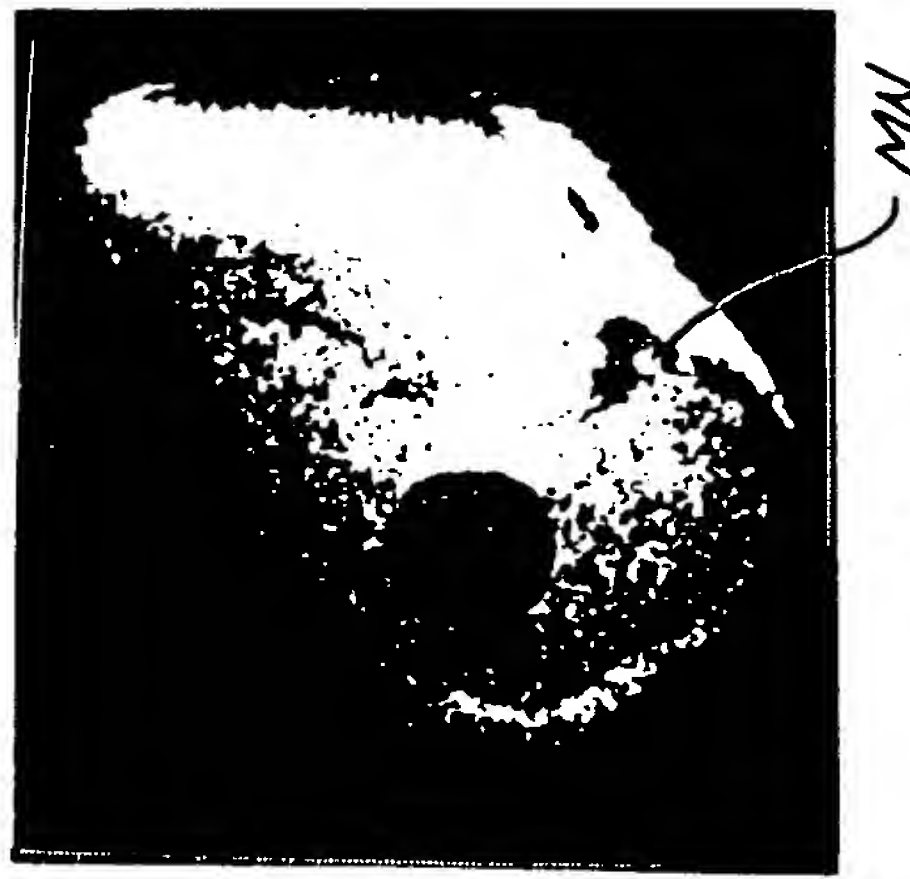
dig. 5B.



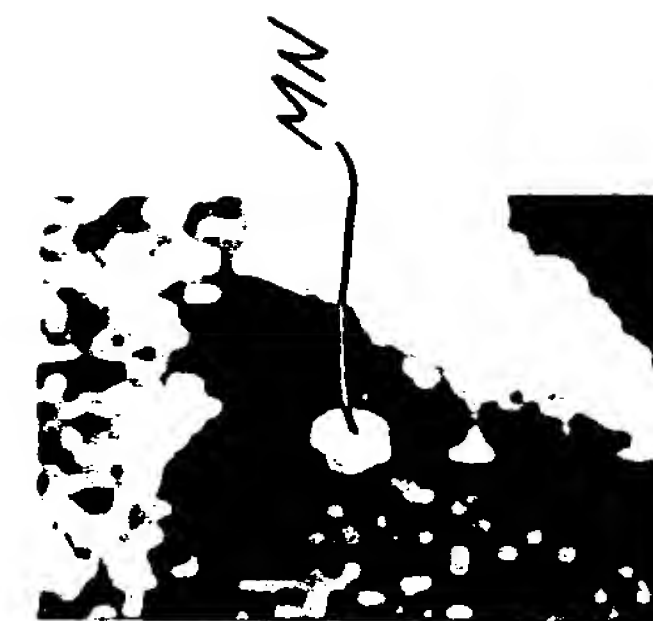
dig. 2A.



dig. 6A.



dig. 3.



dig. 4.

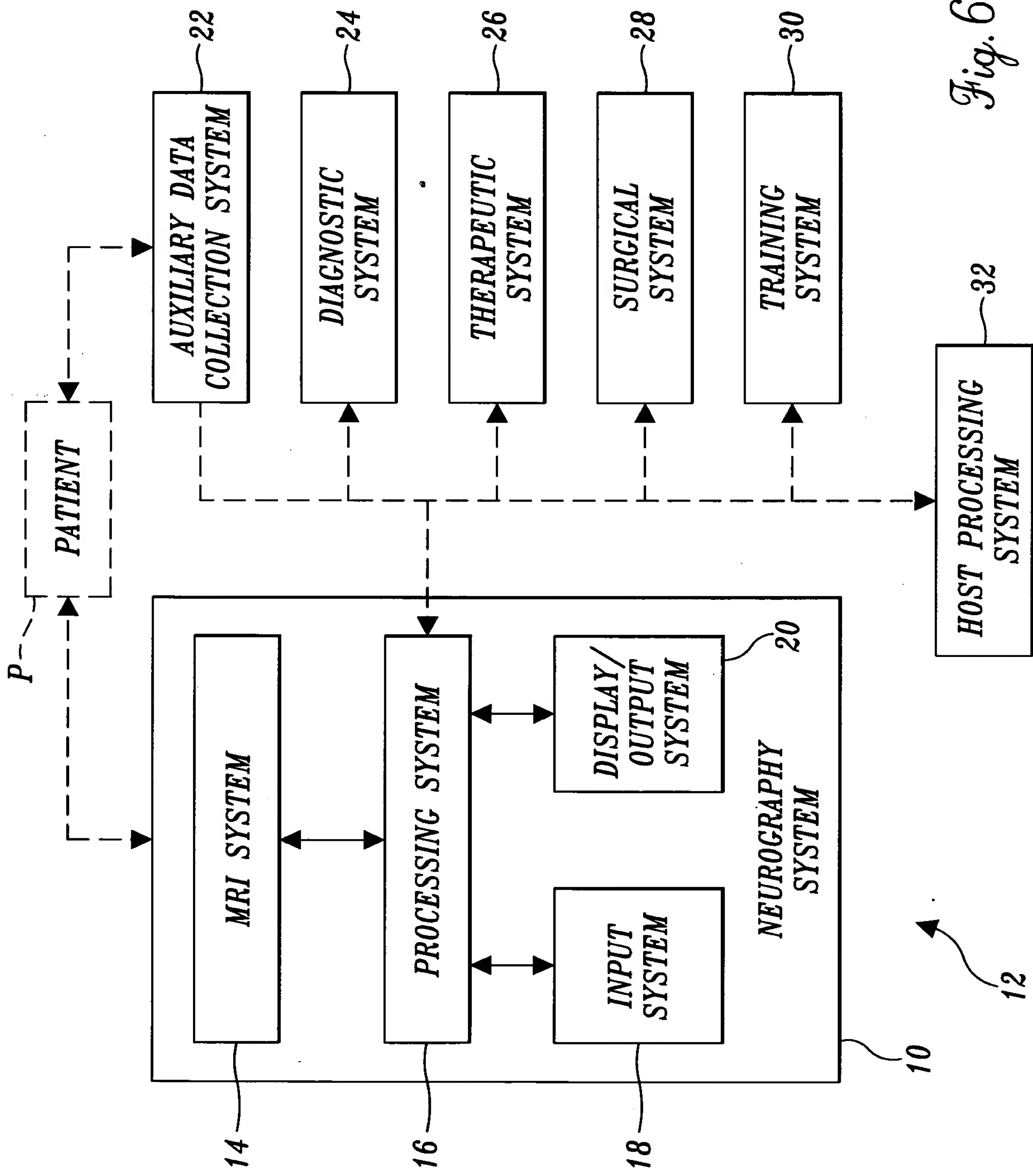


Fig. 6.

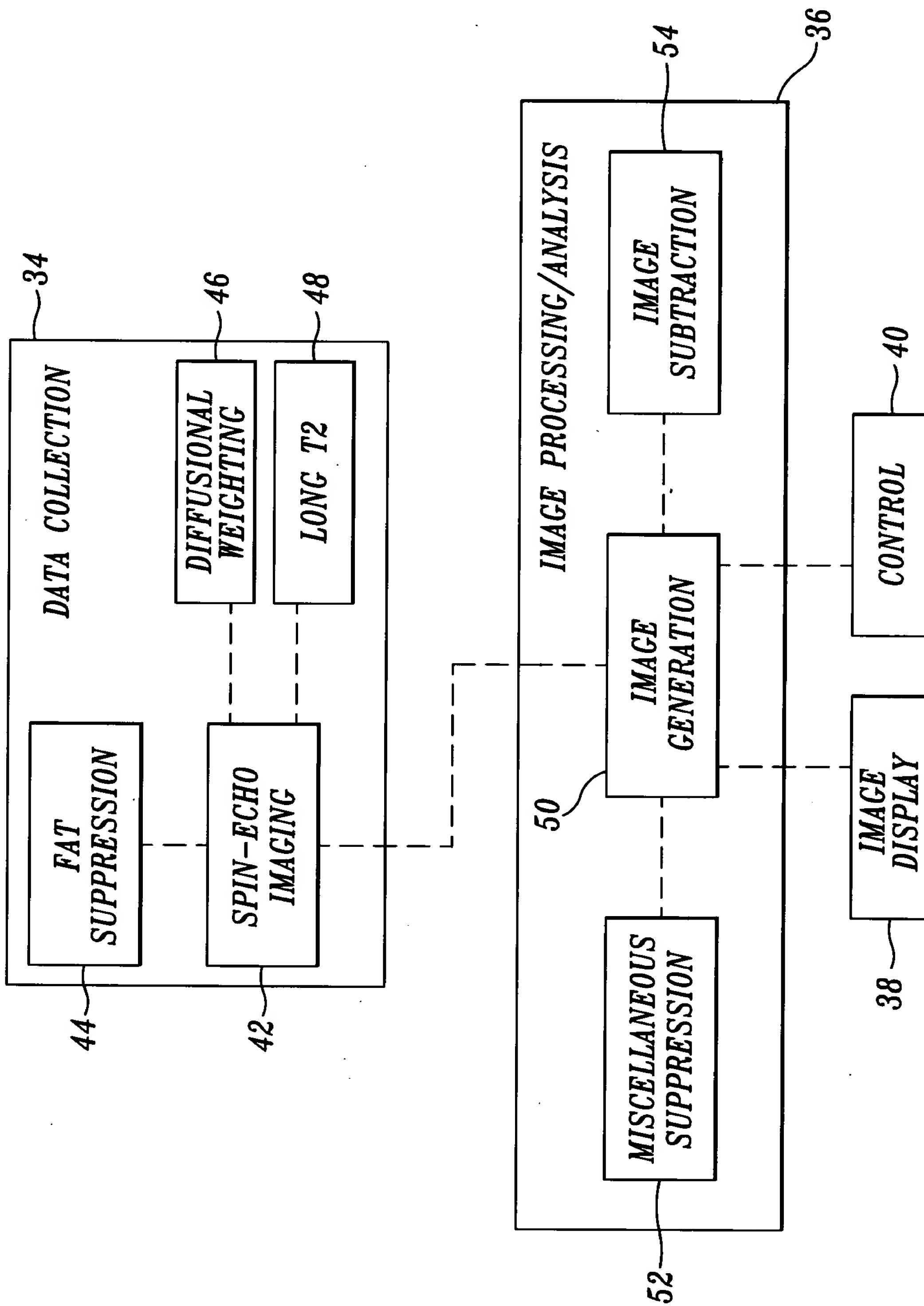
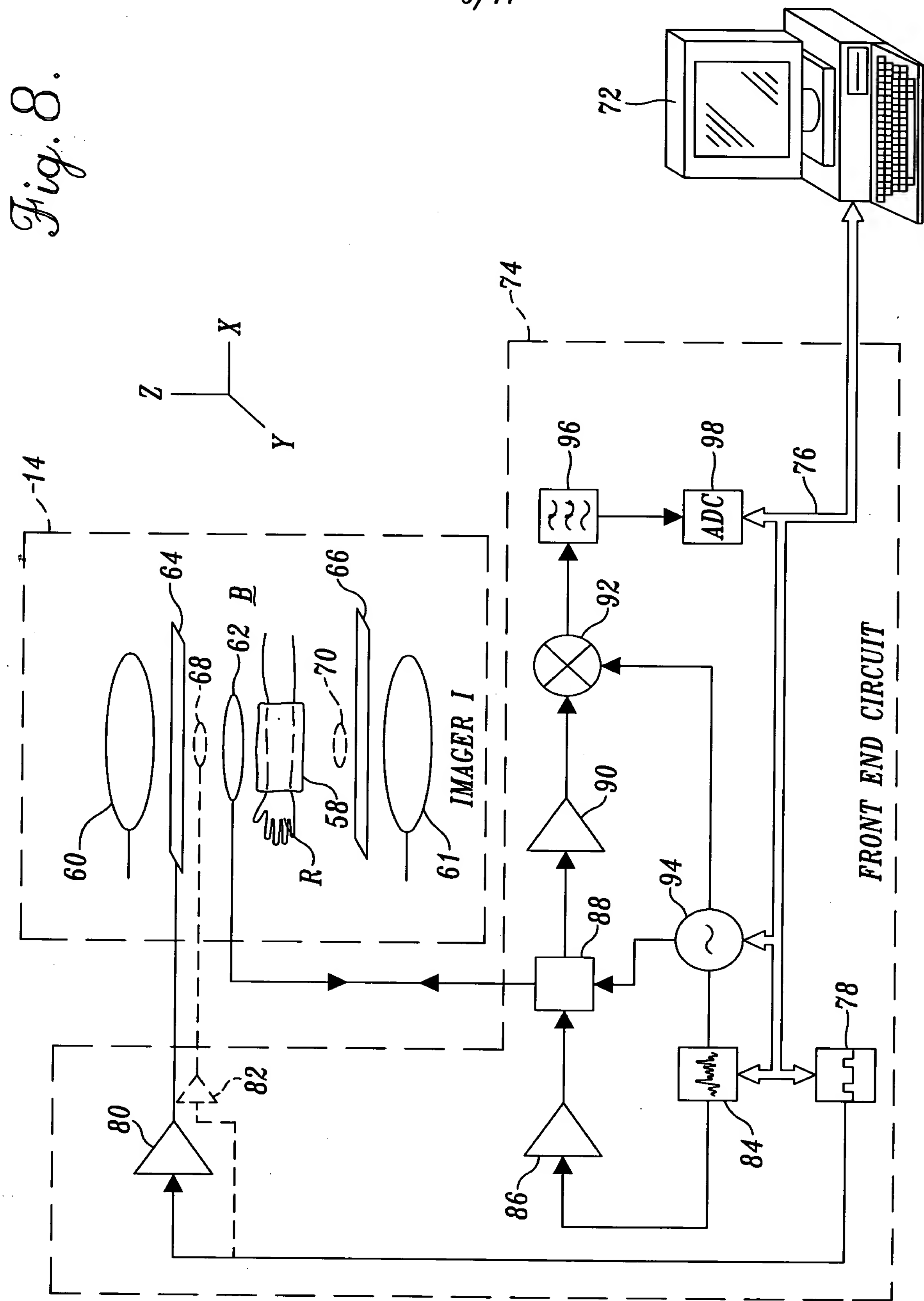


Fig. 7.

Fig. 8.

5/17



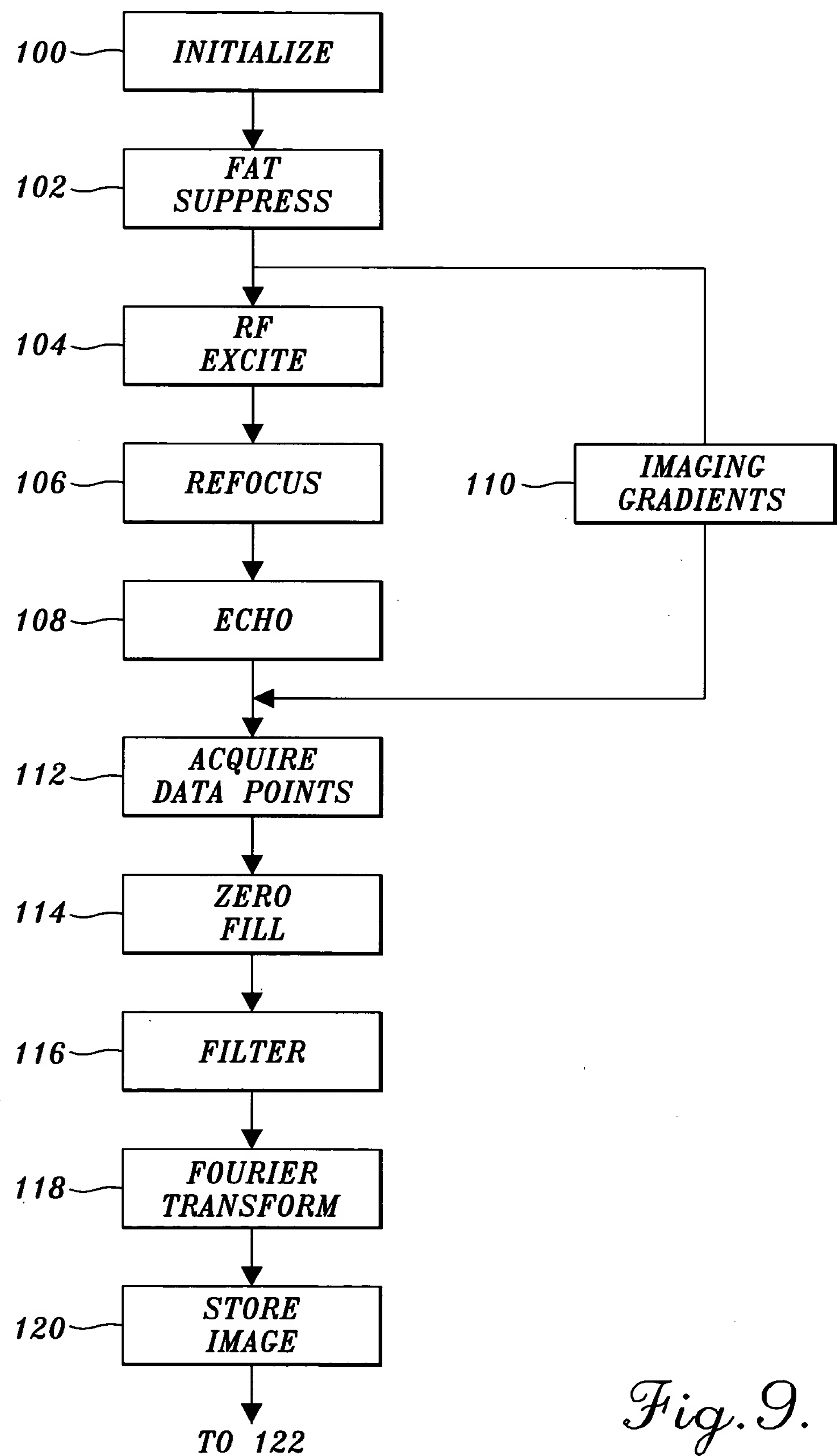


Fig. 9.

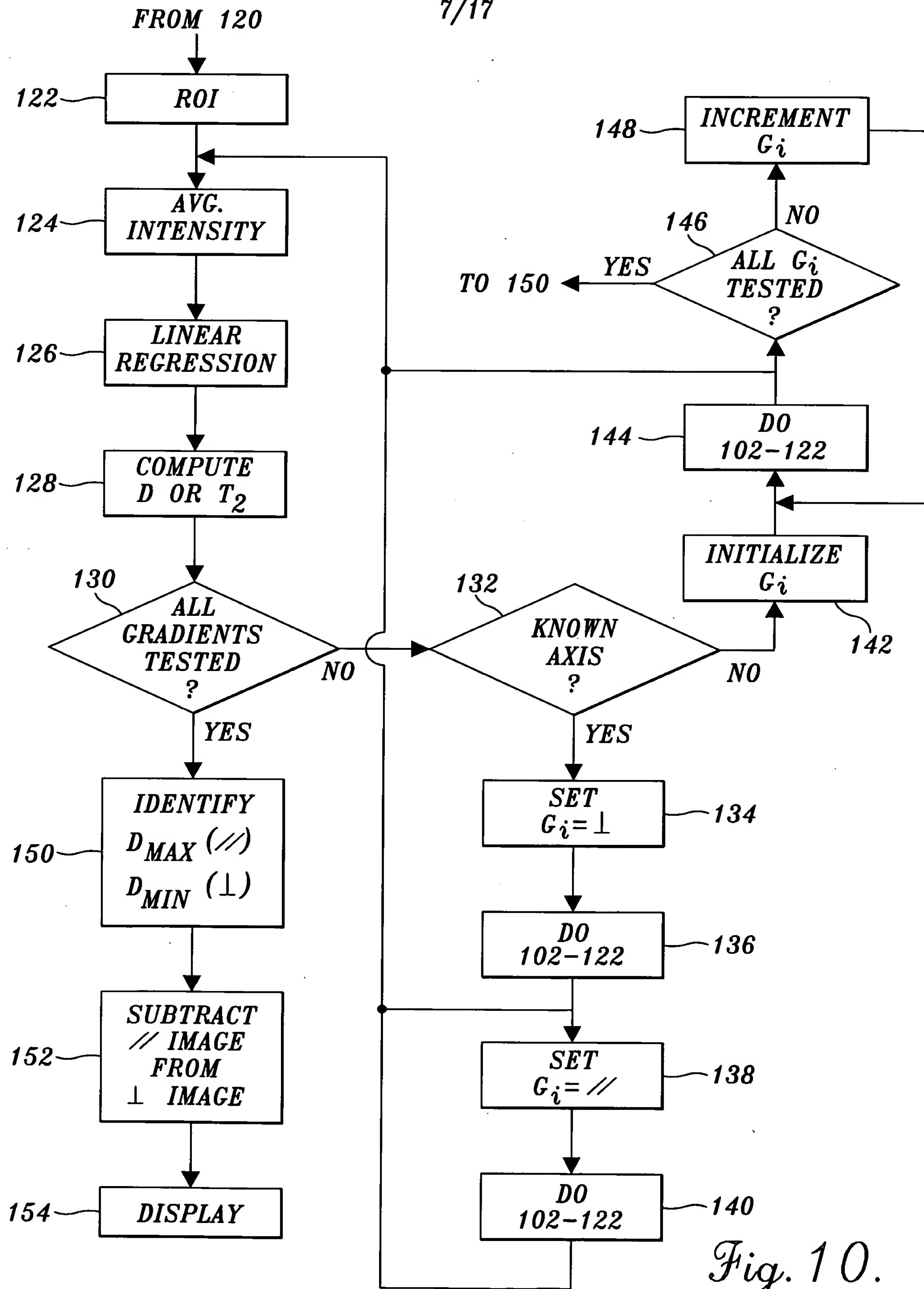


Fig. 10.

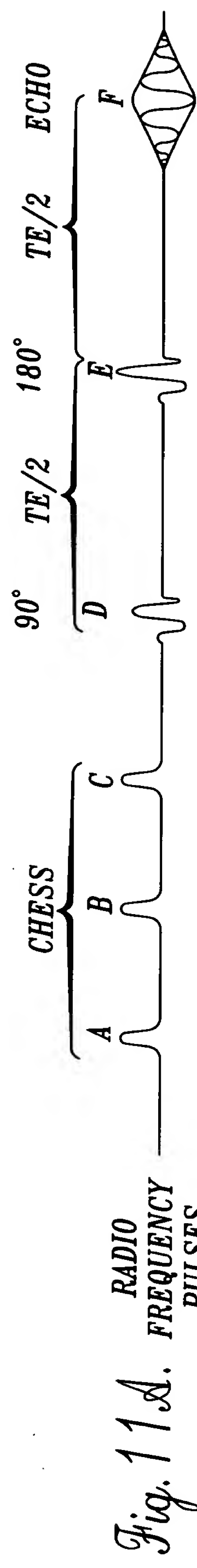


Fig. 11B. DEPHASING/
SPOILER GRADIENTS

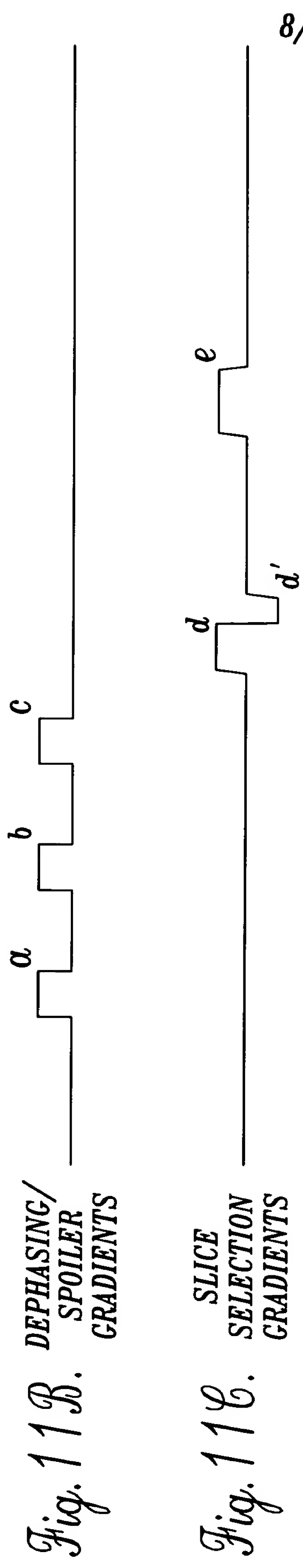


Fig. 11C. SLICE SELECTION GRADIENTS

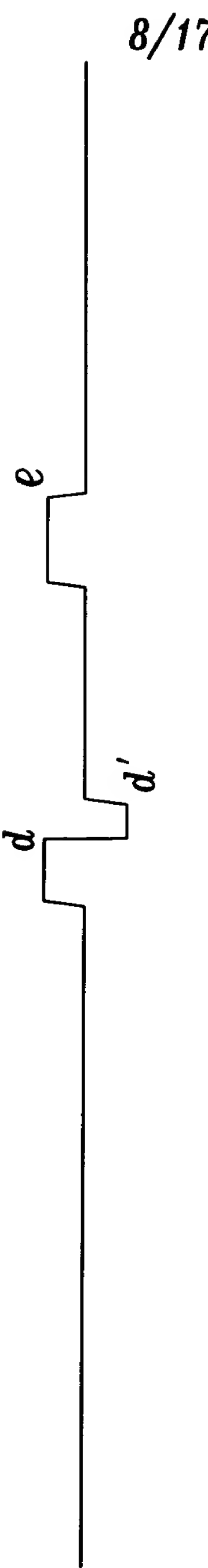


Fig. 11D. FREQUENCY ENCODING/ READOUT GRADIENT

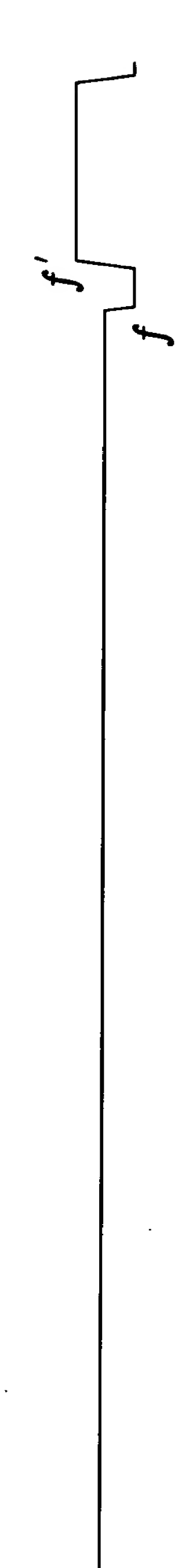


Fig. 11E. PHASE ENCODING

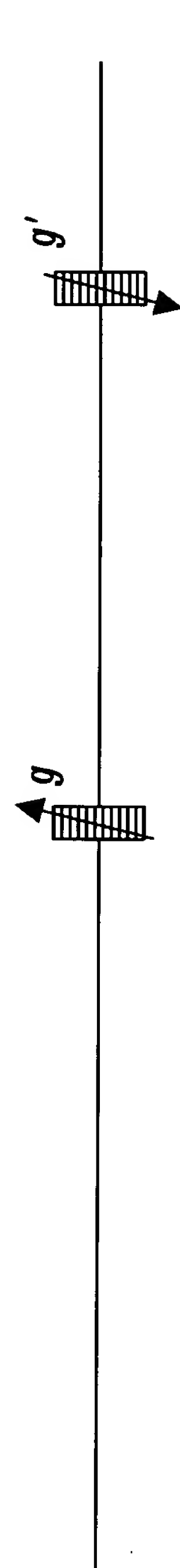
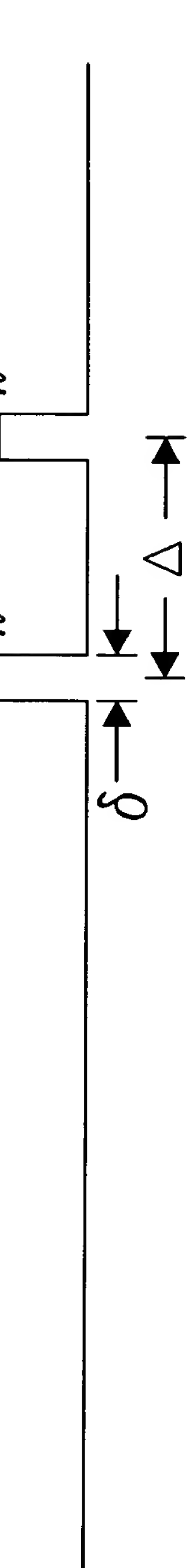


Fig. 11F. DIFFUSION SENSITIZING GRADIENTS



8/17

9/17



fig. 14.B.

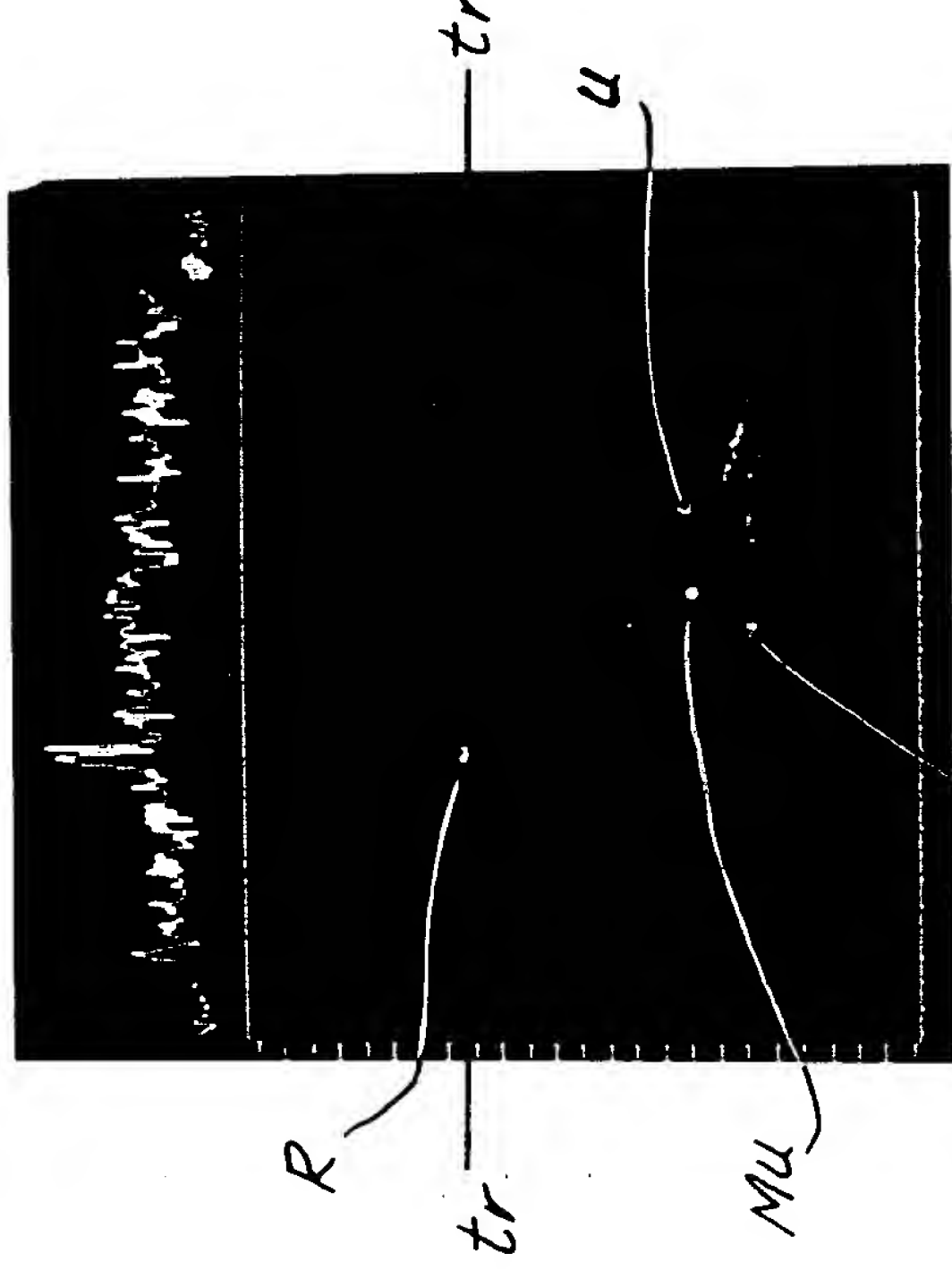


fig. 14.D.

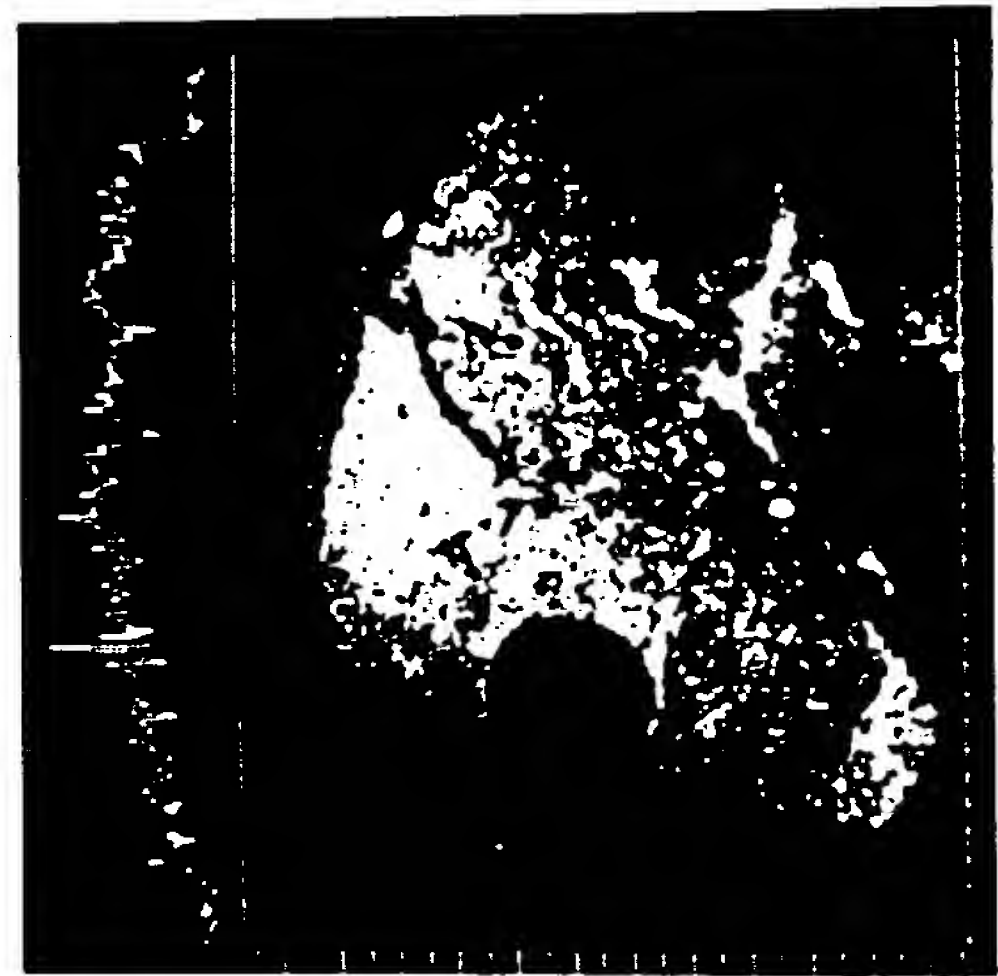


fig. 14.A.

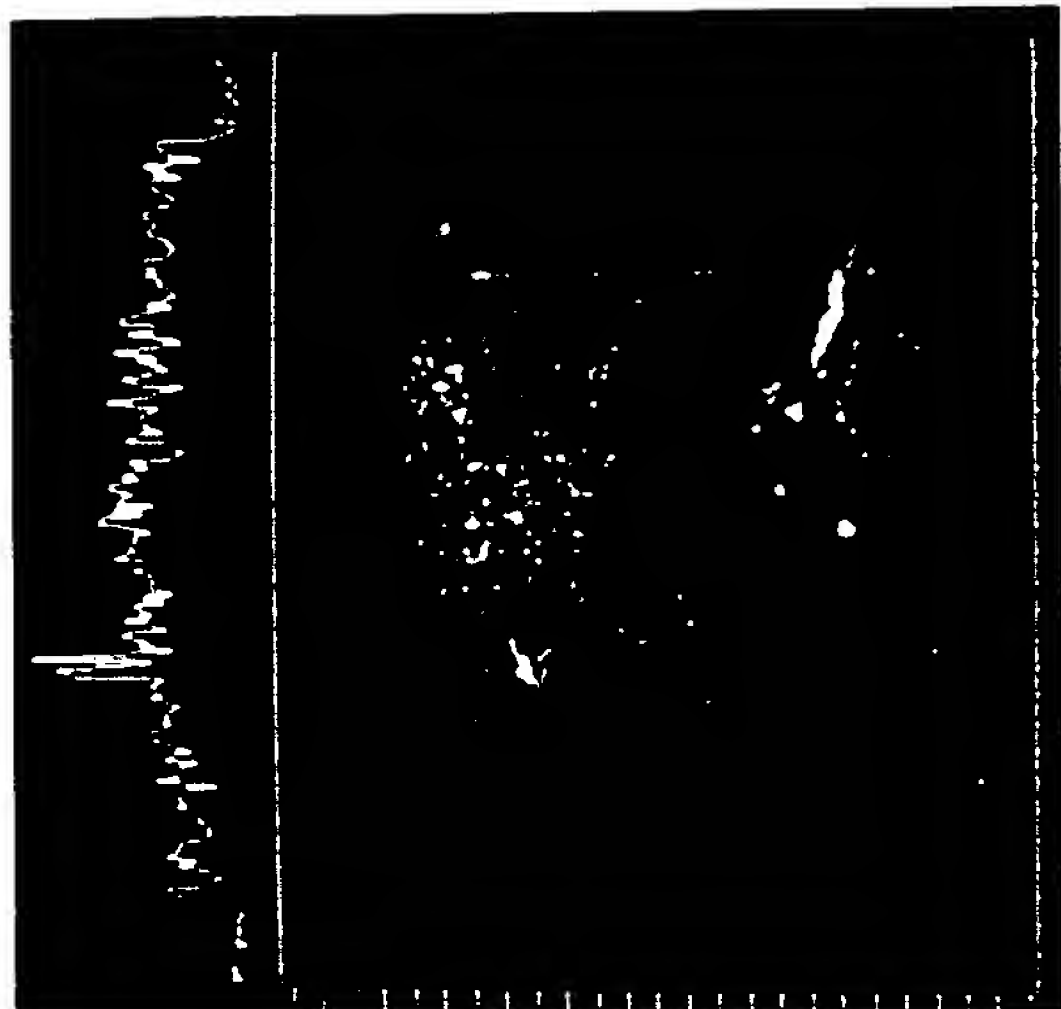
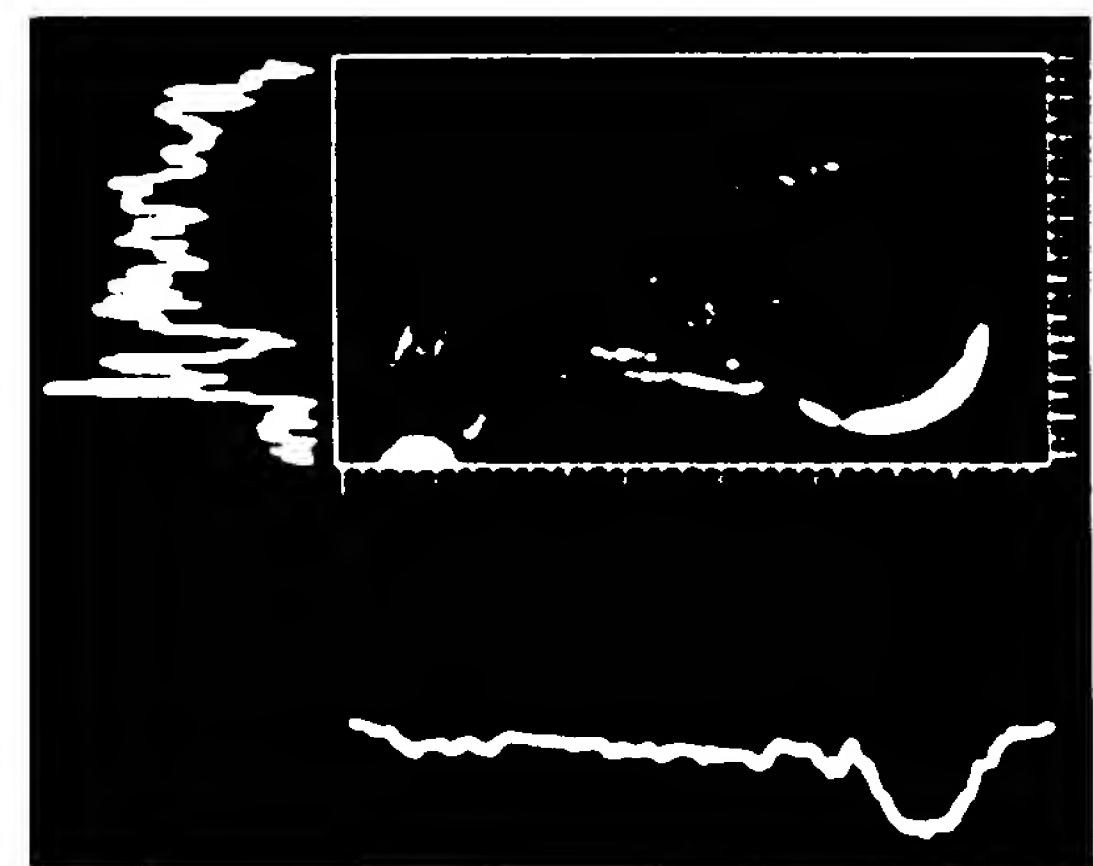
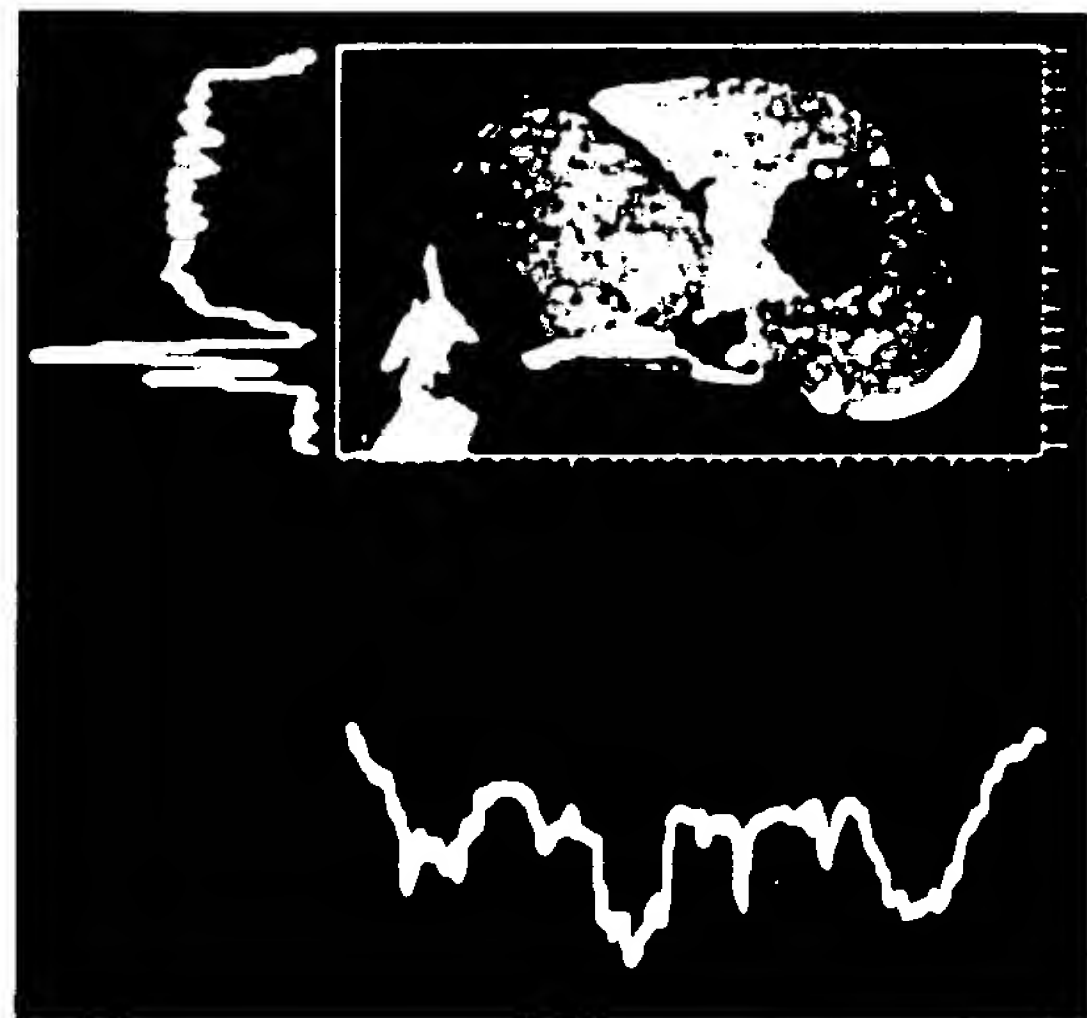
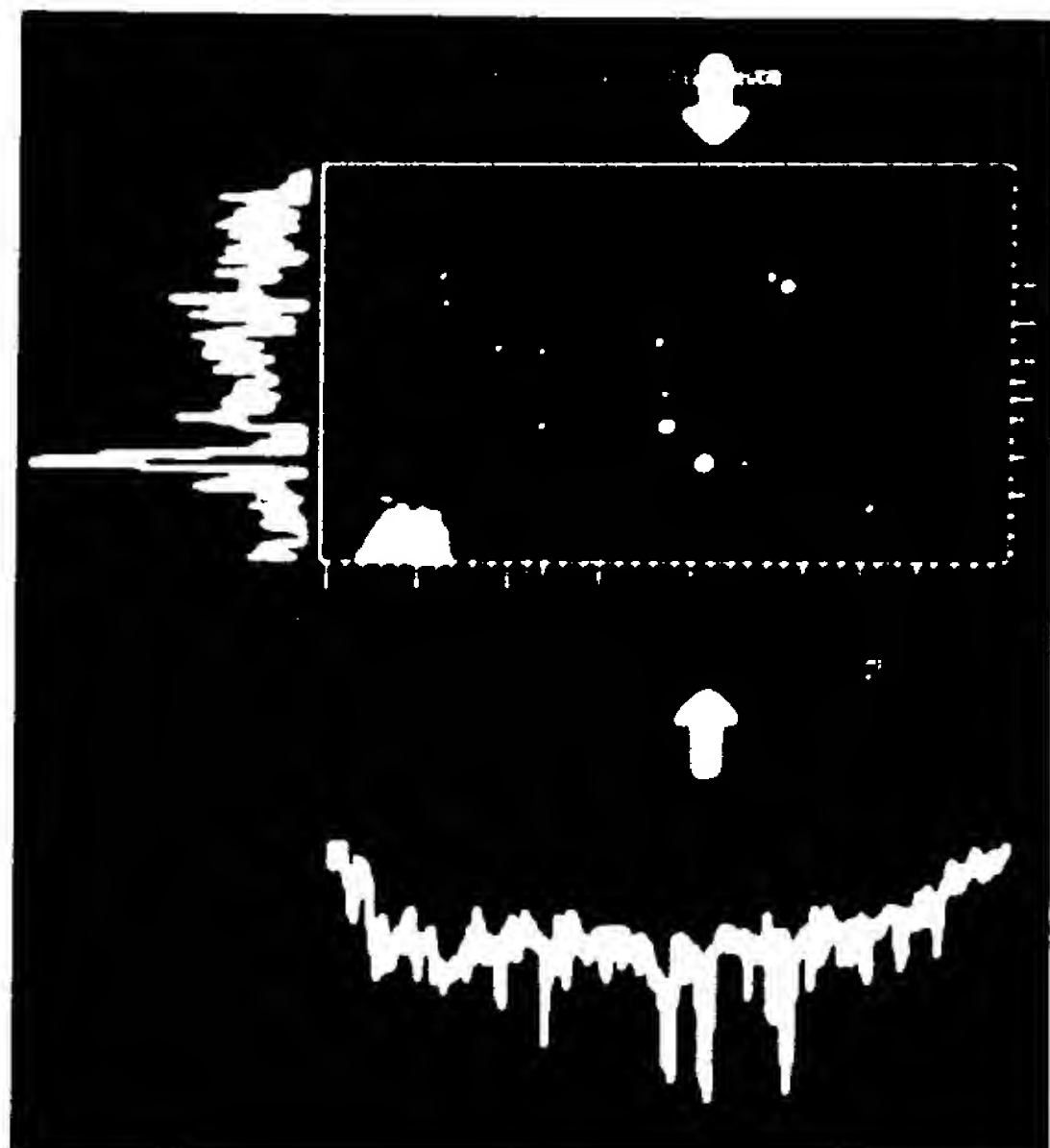
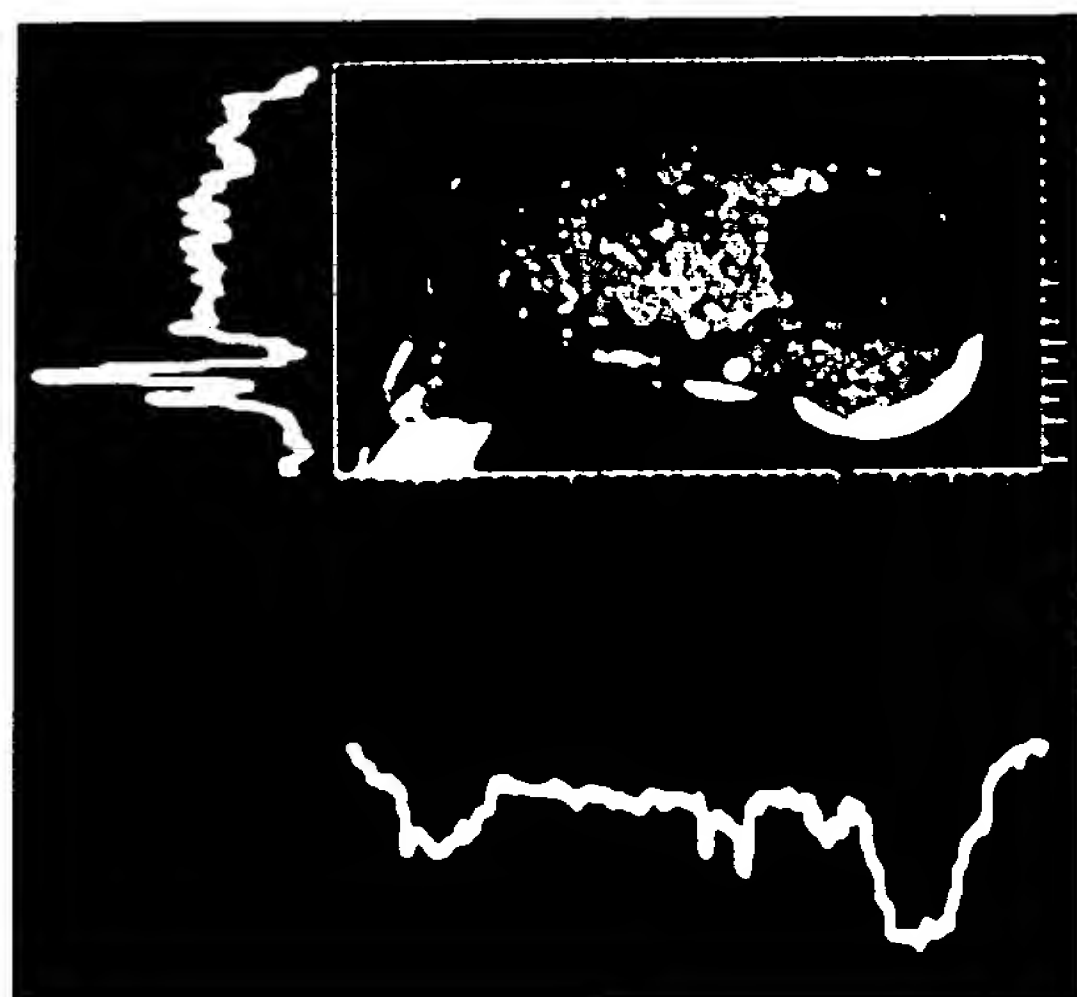


fig. 14.C.

10/17



11/17

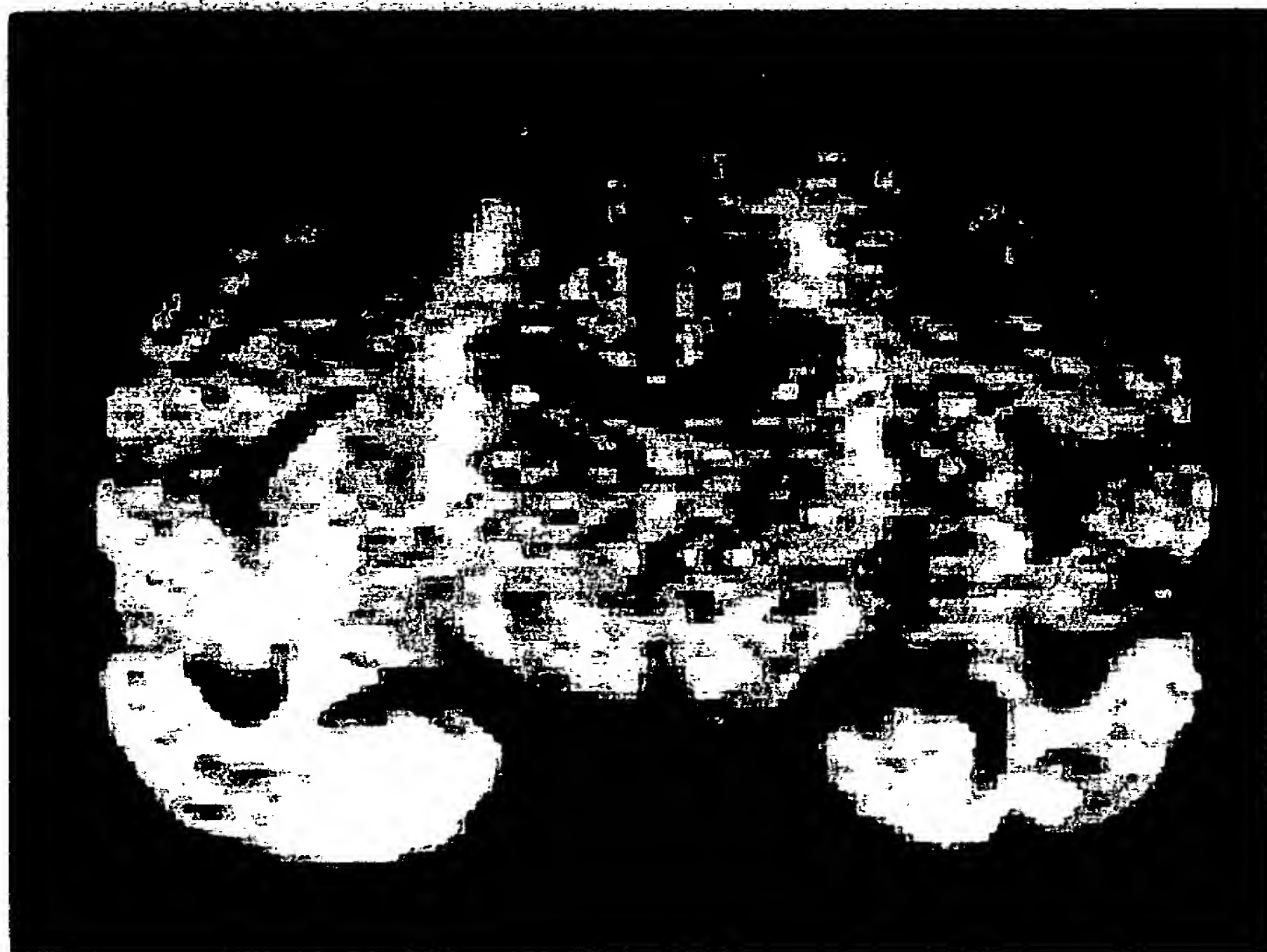


Fig. 16.

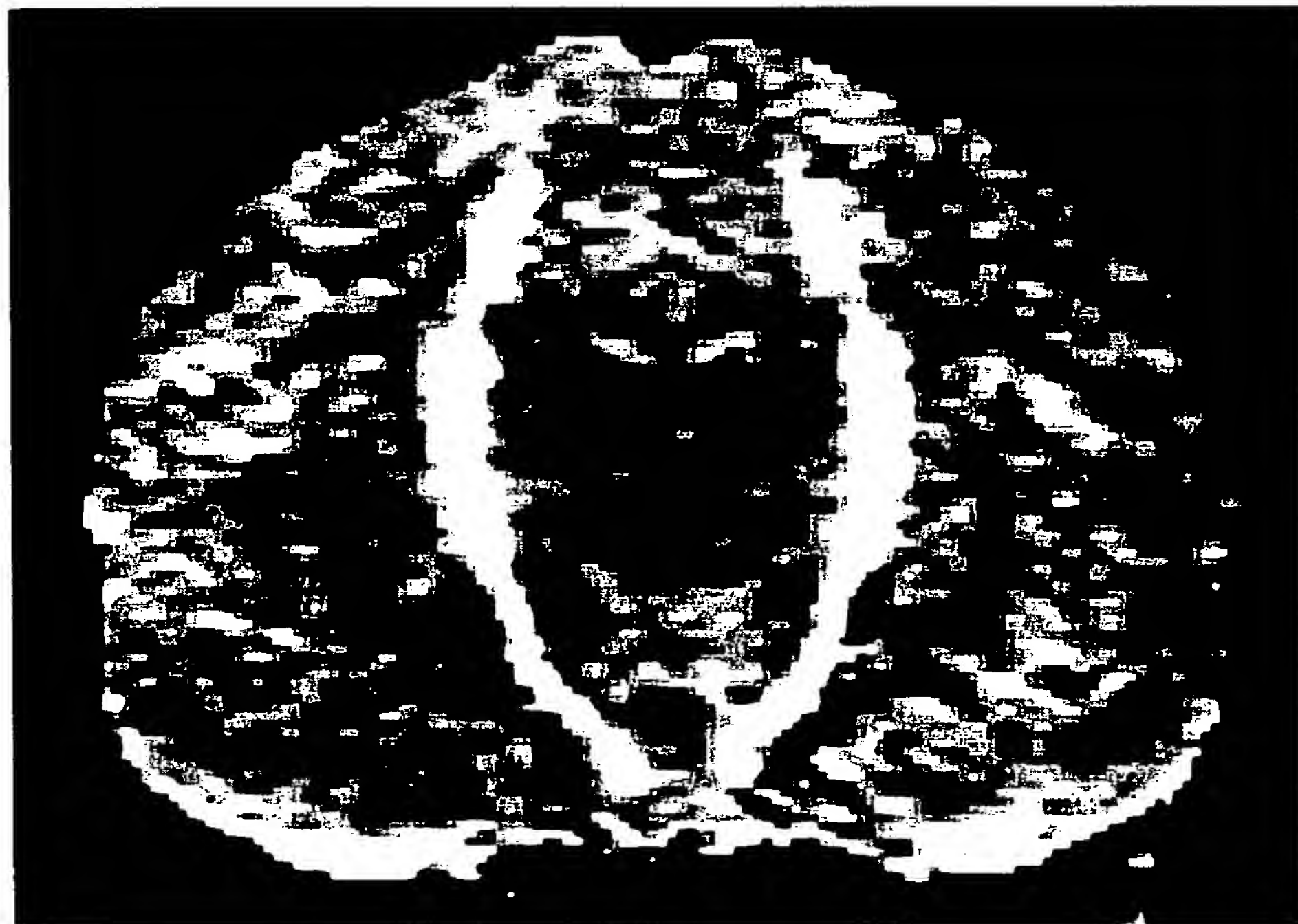


Fig. 17.

12/17

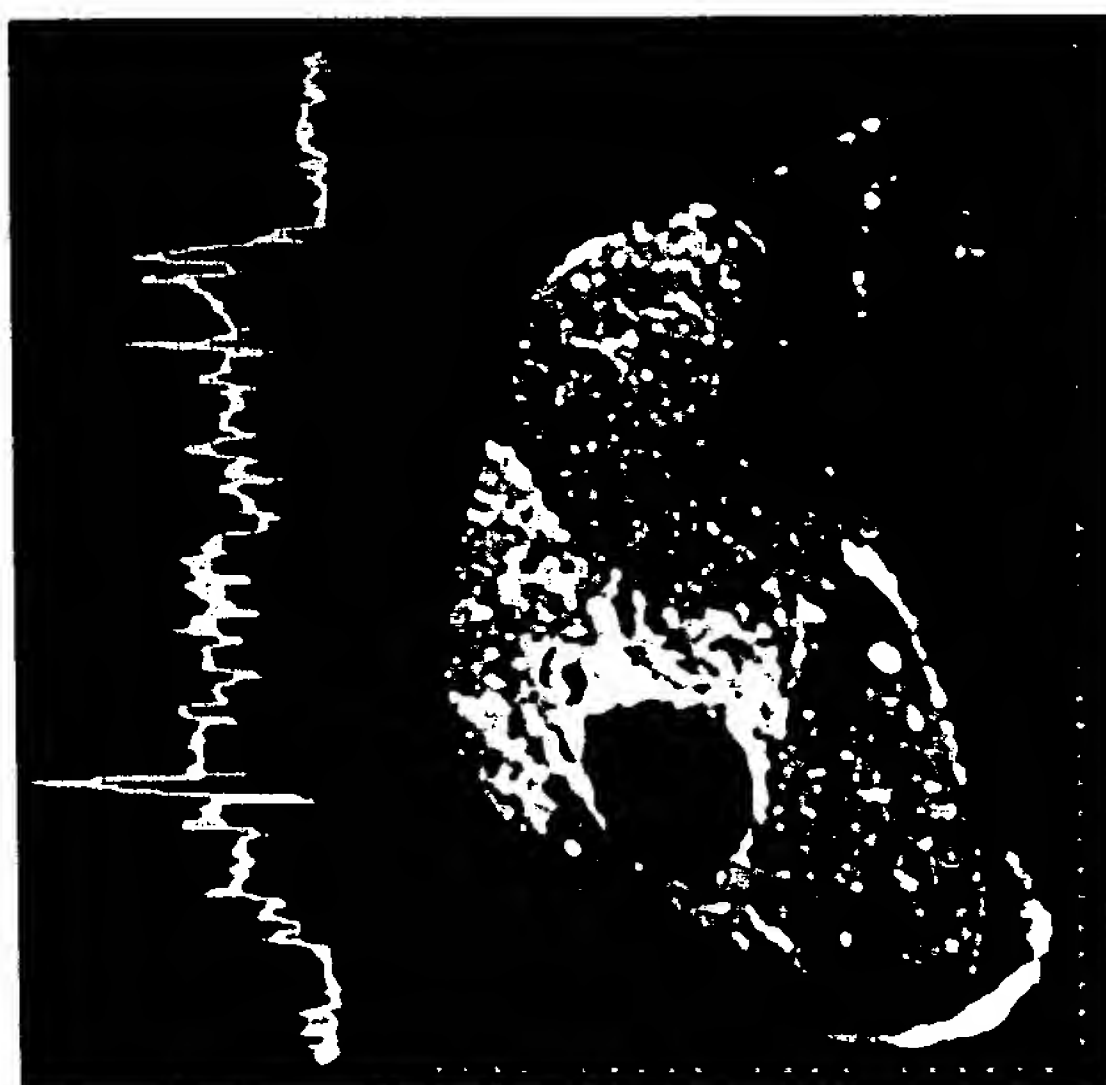
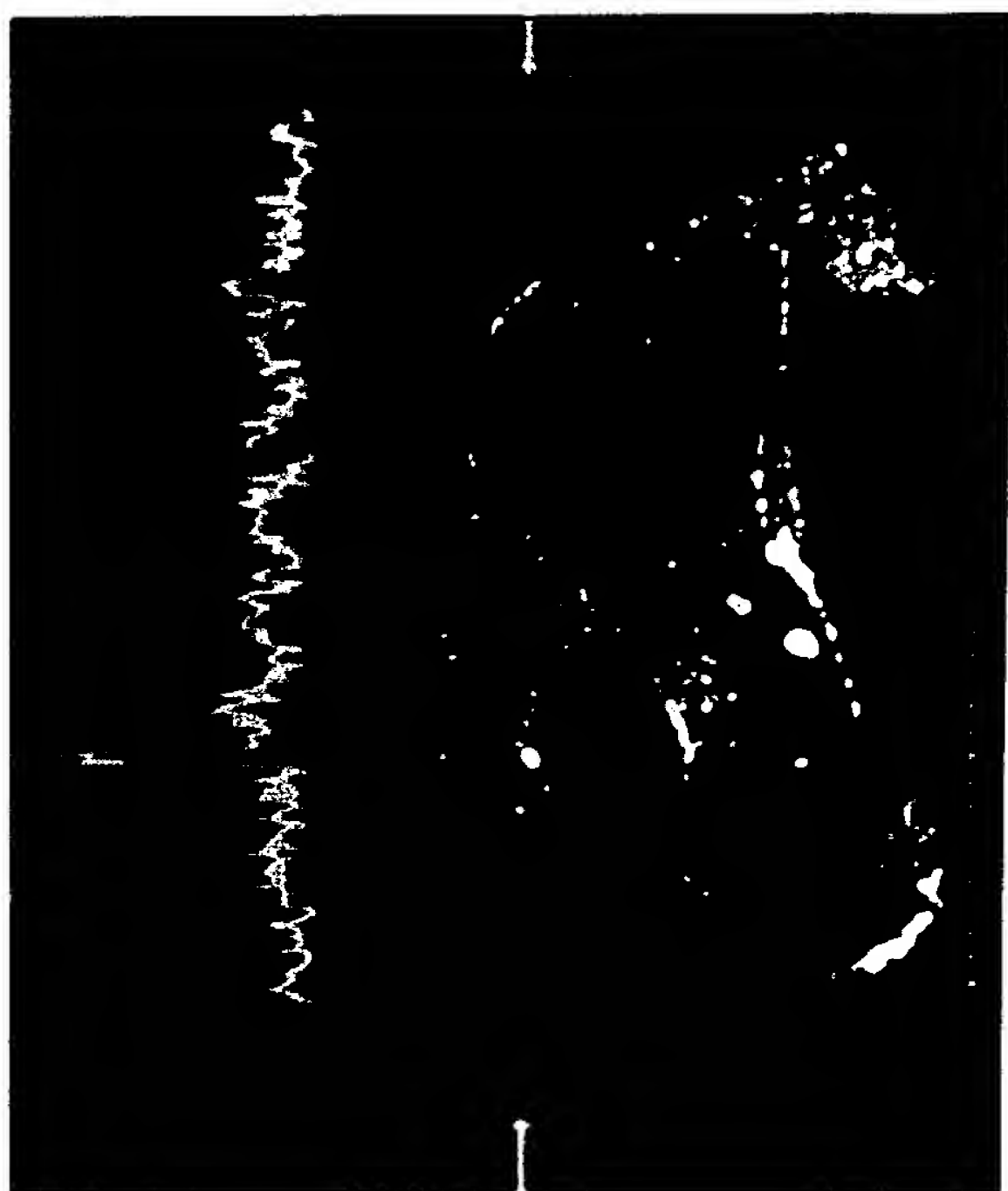
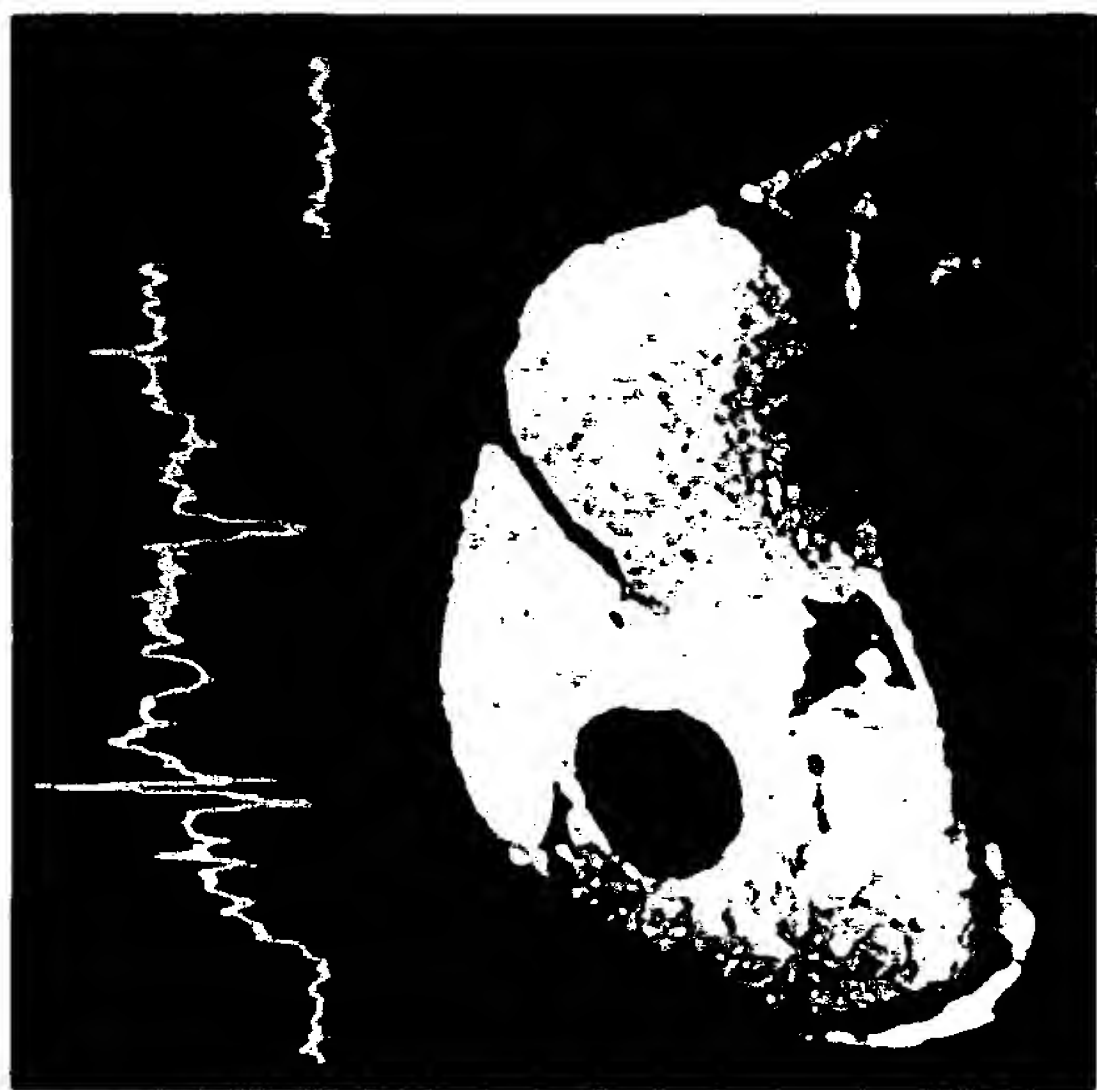
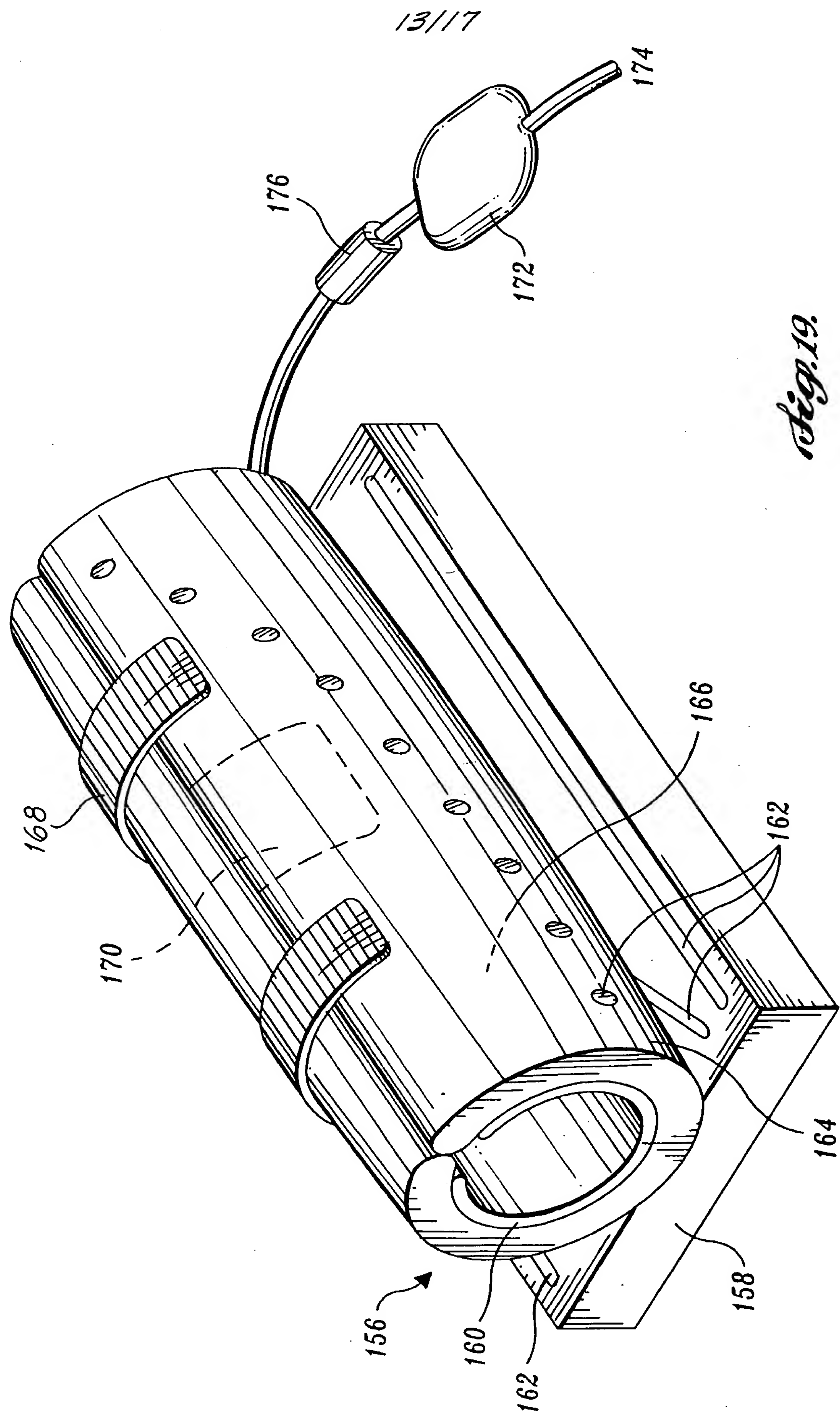


Fig. 19.



14/17

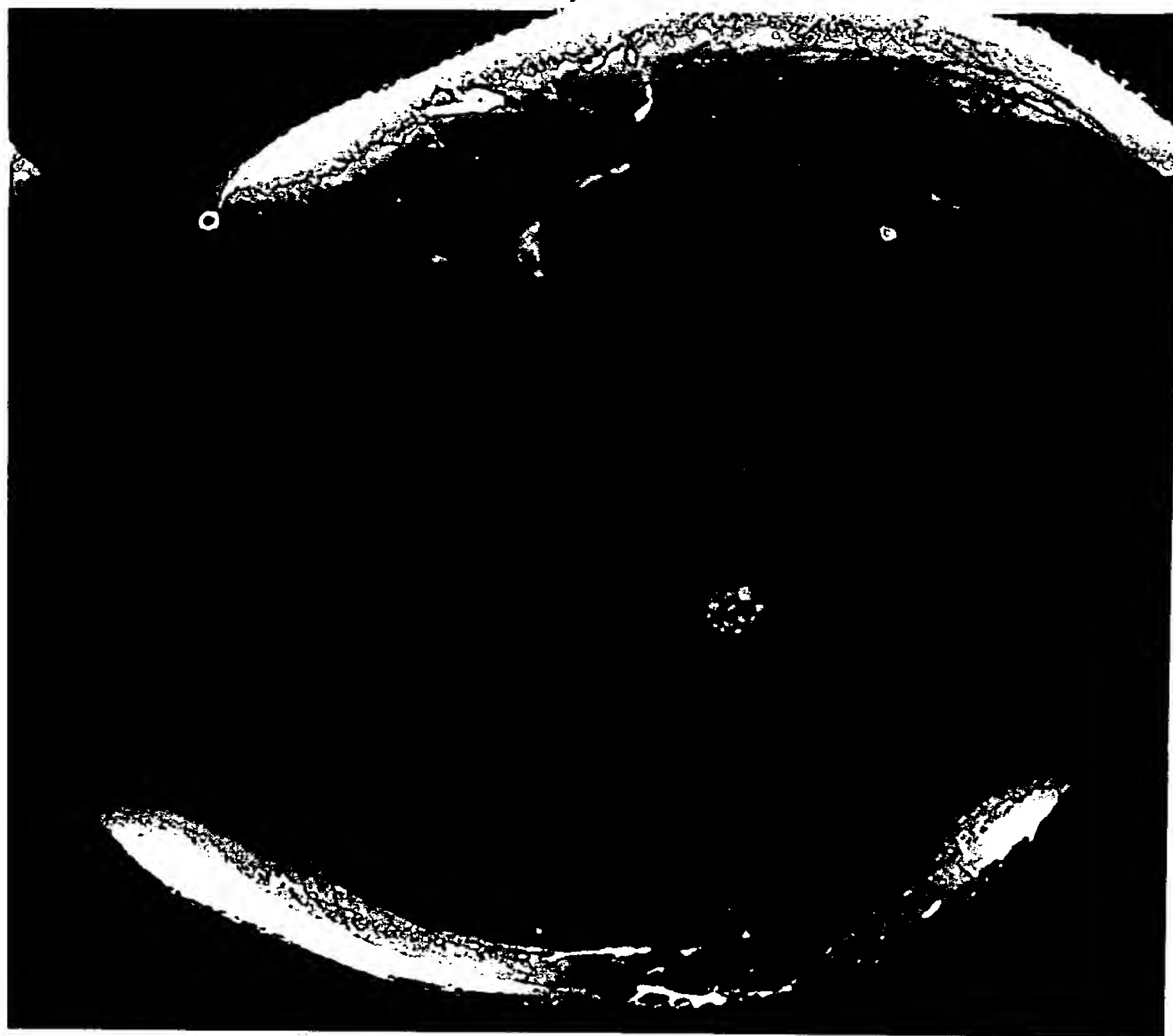


Fig. 20.

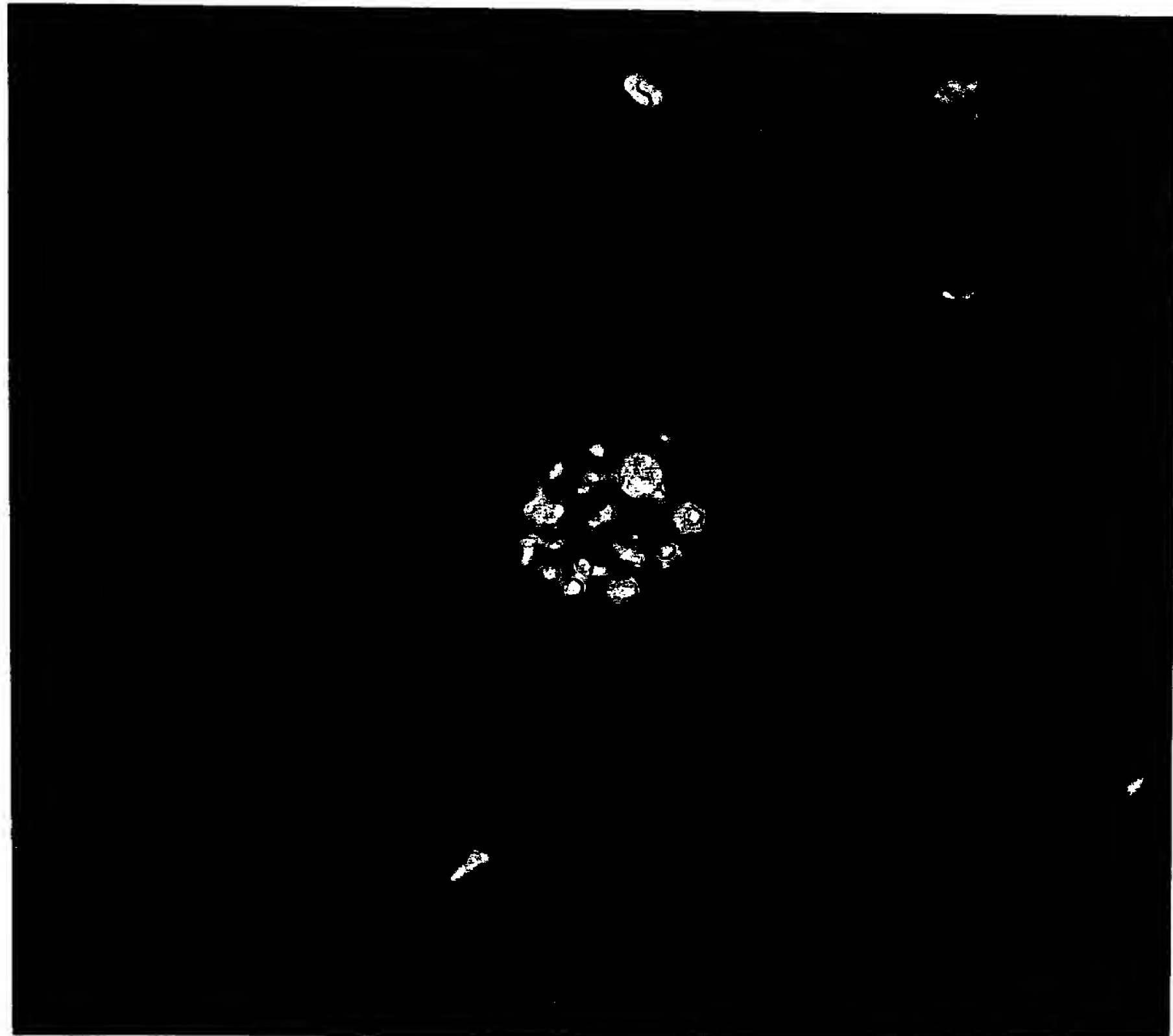


Fig. 21.

15117



Fig. 22.

16/17

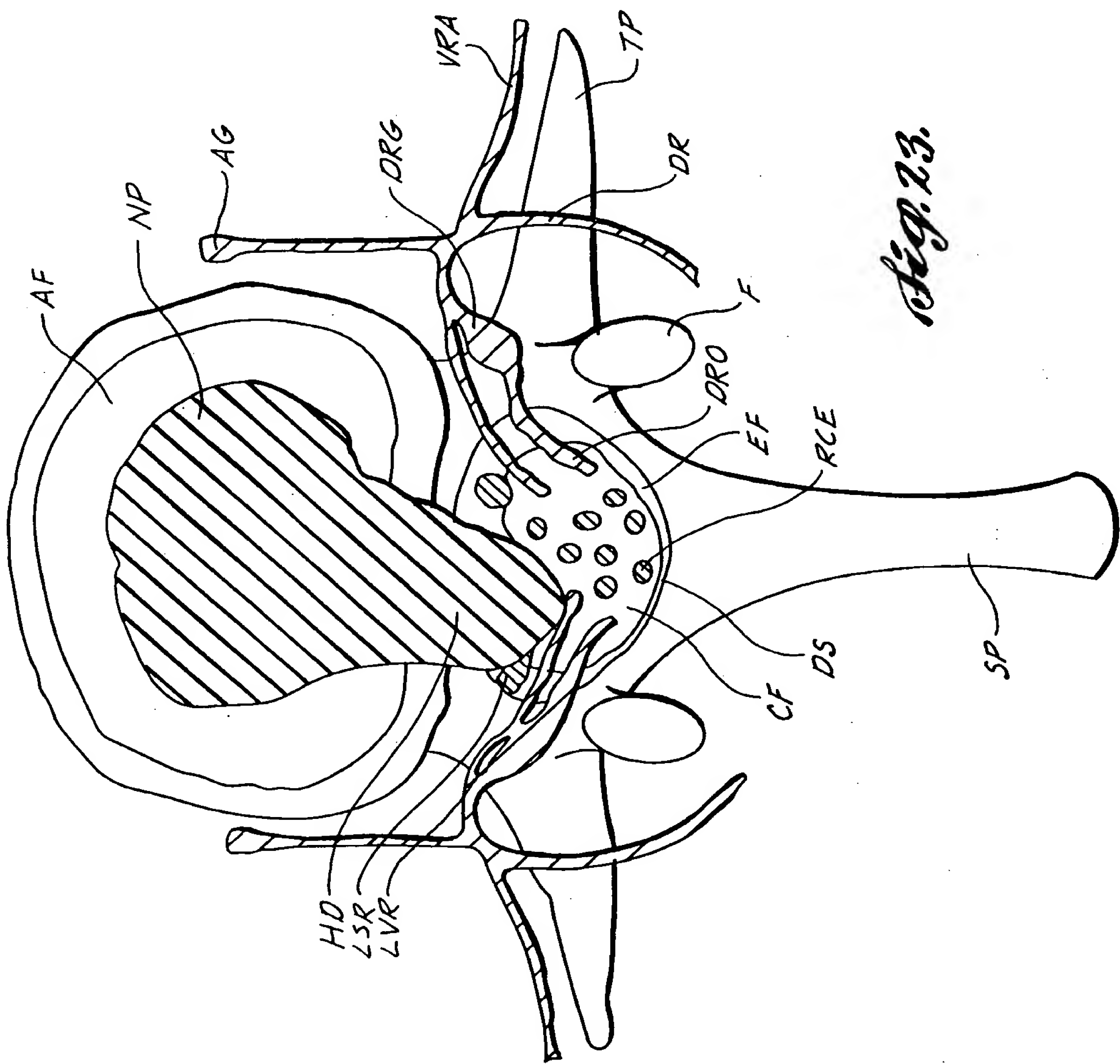


Fig. 23.

Fig. 2A.

